

東北大学 正員 倉西 茂
三菱重工業 正員 岡部 舜三

本論文は図-2に示す断面および殘留力をもつて放物線アーチに図-1に示す逆対称形の荷重を載荷させ、荷重増分法により、最終耐荷力を求めたものである。

その結果得られた変形曲線は図-3に示されている。図-4は軸力と曲げモーメントが荷重の増加と共に変化して行く様子が示されている。図-5は細長比と耐荷力の関係が示されている。参考のため、2ヒト付アーチと長方形断面をもつて固定アーチの値を書き込まれている。図-6は高張力鋼を使用した場合の耐荷力の変化が示されている。一般に固定アーチの起拱部は大きな応力を生じるが、その部分を補強した場合の影響が、図-7に板厚を変えた場合、図-8に高張力鋼を使用した場合について示されている。この部分のひずりも大きなものとなるが、最終状態でウカバプレート値が表-1に示されている。

結論

- 1) 固定アーチの使用材料が同じなら2ヒト付アーチより大きな耐荷力を期待できる。
- 2) 荷重が逆対称形になると従い、固定アーチの耐荷力が減少し、変形も大きくなる。
- 3) 対称形に近い荷重の下でも、細長比が大きくなると従い逆対称形の最終変形を示すようになる。
- 4) 固定アーチの起拱部を補強することによりアーチの耐荷力特性を改善することができる。特にカバプレート平均ひずりが著しく小さくなる。
- 5) 高張力鋼の採用により、固定アーチの耐荷力は増加するが、その効果は高張力になる程細長比が大きくなる程減少する。

6) ボックス断面をもつて固定アーチでは、除荷の最終耐荷力に及ぼす影響は小さい。1本(長方形)断面固定アーチでは除荷の範囲に至る。

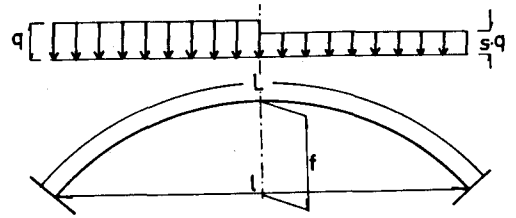
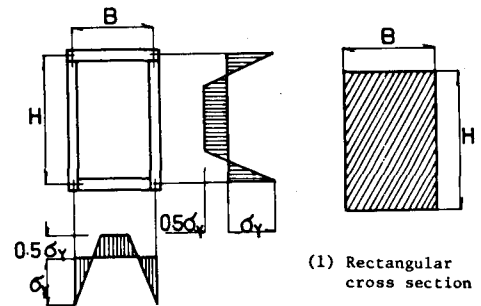


Fig. 1 Loading and configuration of arch



(1) Rectangular cross section
(2) Box cross section Fig. 2

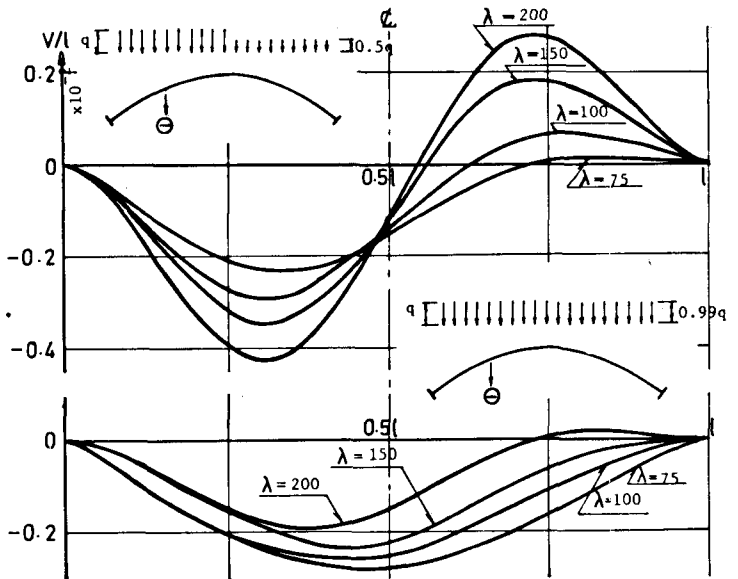
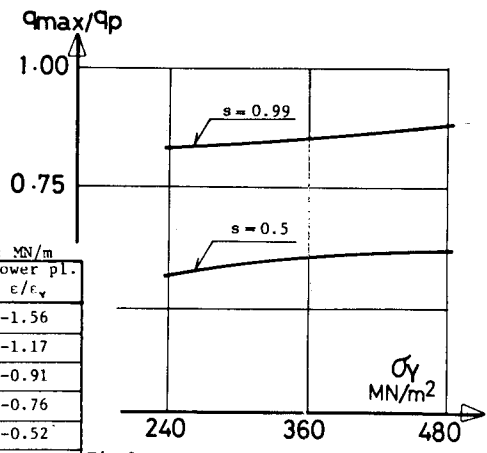
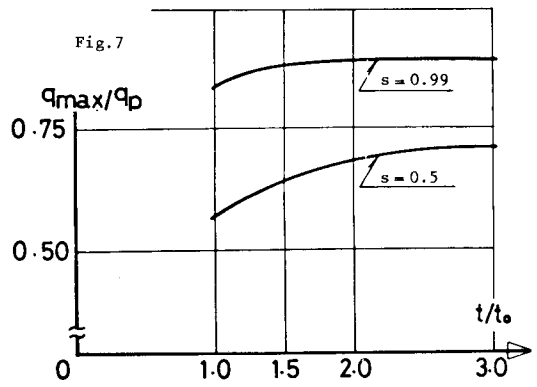
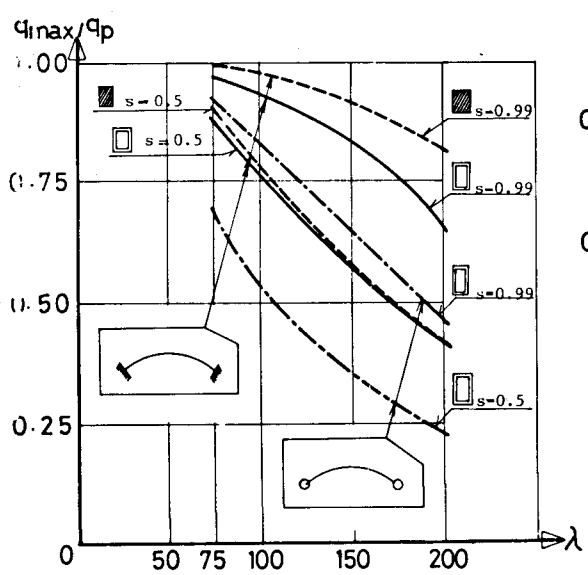
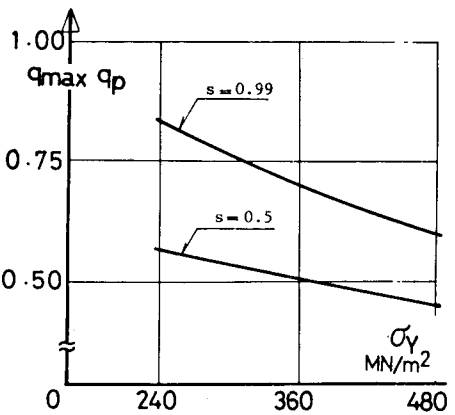
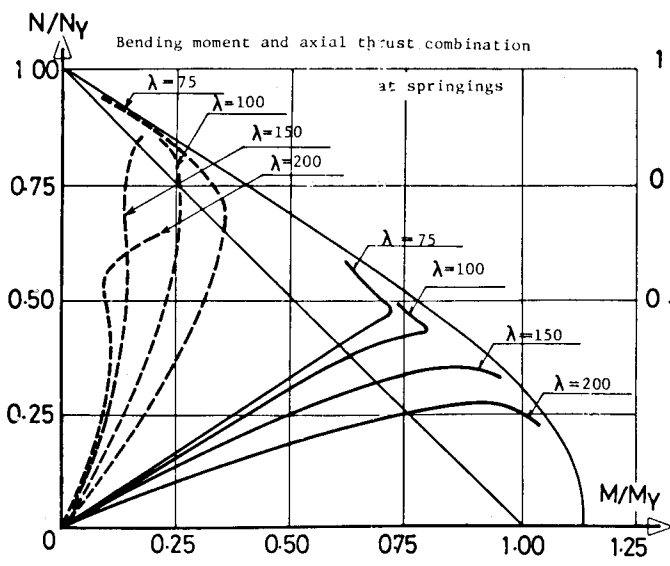


Fig. 3 Deflection curves in the ultimate state



s	Type	σ : MN/m		s	Type	σ : MN/m	
		upper pl. ε/ε _y	lower pl. ε/ε _y			upper pl. ε/ε _y	lower pl. ε/ε _y
0.5	α=235	1.14	-3.47	0.99	α=235	0.83	-1.56
	α=353	1.34	-3.52		α=353	-0.57	-1.17
	α=470	1.30	-2.74		α=470	-0.46	-0.91
	Hybrid 1	0.68	-1.49		Hybrid 1	-0.47	-0.76
	Hybrid 2	0.50	-1.04		Hybrid 2	-0.35	-0.52
	Vari. 1	0.86	-1.79		Vari. 1	-0.49	-0.80
Vari. 2	0.47	-1.14	Vari. 2	-0.24	-0.33		

Tab.1 Mean strains produced in the cover plates of the cross sections at the springing in the ultimate state